

船舶推進軸系의 適正配置에 관한 研究

指導教授 全孝重

朴賢虎 白晉榮 李進雨

A Study on the Proper Alignment of the Marine
Engine Propulsion Shaft System

- 
1. 머릿말
2. 軸系配置에 있어서의 問題點
- 2.1 프로펠러軸의 問題點
 - 2.2 中間軸의 問題點
 - 2.3 減速齒車의 問題點
 - 2.4 새로운 推進軸系의 配置問題
3. 支持反力과 反力影響係數의 計算
- 3.1 等價軸의 計算
 - 3.2 三連모멘트定理에 의한 베어링 모멘트의 計算
 - 3.3 各 베어링에서의 反力荷重計算
 - 3.4 反力影響係數의 計算
4. 實測值와 計算值의 比較
- 4.1 模型軸系에 대한 影響係數實測
 - 4.2 模型軸系에 대한 反力影響係數計算
 - 4.3 計算結果의 응비와 適正支持狀態의 計算
5. 結論

Abstract

At the present time, there are many shipyards in Korea, and the government makes effort to bring up shipbuilding industry. But most of the shipyards are still small in the scale, and it is difficult for the ship designers of this shipyards to make use of the computer.

The purpose of this study is to make it possible that the calculation of propulsion shaft alignment can be done by a electrical calculator. Therefore, this study aims at not the best solutions in the shaft alignment but to get a satisfactory results from the design-stage drawings.

The calculation of the propulsion shaft is done by reducing the real shaft system into an equivalent shaft system that provides the same mechanical characteristics. With the three moment theory of the strength of material, the reaction influence numbers are derived. With these influence numbers, the load condition of the propulsion shaft system can be adjusted in a uniform state.

A 1/20 scale model of the propulsion shafting is manufactured and its reaction influence numbers are measured with a strain amplifier and a pen-recorder. These measured values are compared with the results of theoretical values calculated with the above mentioned theory and they shows fairly a good agreement.

1. 머릿말
1950年代 후반부터 美国 海軍에서 시작된 함정의 推進動系適正配置에 관한 연구는 점차 商船에 까지 확대되어 1960年代 후반부터 1970年代 초반에 걸쳐 각 船造, 造船, 造機와 관계를 갖는 연구 단체에서 이에 관한 연구가 활발히 進行되어 왔다.

最近에 이르러 基本的인 研究는 기의 完成되었고, 現在는 여러가지 복잡한 조건을 충실히 計算하는 하는 연구가 계속되고 있으으며, 특히 電子計算하는 利用으로 軸系配置에 必要한 諸資料를 데 크게 도움이 되고 있다.

本研究의目的是軸系配置의 계산에 있어서
材料力學의 古典的定理의 하나이 三連모멘트의
理를 利用하되 最適配置가 아니고 滿足만한
度의 軸系配置狀態를 筆算에 의하여 구하고자
는데 있다.

學影를 1과
고力果計算
하反結의 計算
을算持算分
系換支計 0
軸 2
로여한 대하여
의으하또約
간軸用
령價適다. 의계다.
어等 있. 축했다.
베를 軸
는理에 의形
各주定는의形
하제모를
의은連구위여하여
모하고여 만든 결과
모변드져 실
의을 研究 같 3
치本 으기係認
의여響確로實
장대를 研究
本 으기係認
의여響確로實

2. 軸系配置에 있어서의 問題點

船舶에 있어서의 推進動系는 다음의

통轉 보러轉
이로죽 펠가
것도 는는하는는
성함포구포 구포

3 가지 요

iii) 減速齒車裝置

이들 세 가지가 결합되어 推進軸系를 형성하고 있으나 設計上 이들에게 요구되는 사항은 다음과 같다.

2.1 드로펠러軸의 問題點

주로 熊의 船 되며 주로 熊의 船 되며
是 보러는 問題點 들은 팔 텔 하게 作用 한다. 프로 외로
한發 무負로 운을 만든다. 中요 중에 고정된 生荷를
있어서의 의하여 過度한 無負荷狀態로 한發 무負로
부분에 펠러에 끝에에 無負荷狀態로 한發 무負로
이거로 部 우 펠러 軸의 베어링에 無負荷狀態로 한發 무負로
무드尾 그 인 접 베어링을 無負荷狀態로 한發 무負로

2.2 中間軸의 問題点

② 中間軸 베어링의 設置場所는 船舶의 구조나 다른 機器의 配置에 지장을 주지 않도록 마련한다.

③ 각 軸의 길이는 같게 하고 베어링配置는 대칭이 되도록 한다.

④ 어떤 베어링, 가령 프로펠러軸 船尾側 베어링과 같은 것은 慣習이나 規程(例를 들면 船級協會規程)에 의하여 配置한다.

2.3 減速齒車の問題点

主로 증기터빈에 국한되나 최근에는 디이젤機
에 있어서도 減速齒車를 갖는 경우가 있다. 減

齒의 고 치가 이 게 음과齒 링운
와으 있으 하소다. 베는 이 가는 결정
齒 일서 라均 친 등兩重 것인여
의을 따나 側差 것인여
있어 손다. 나, 하중이 야창에
에 点하 파어 며이 荷 할
齒 접되 過의 베의 이값도
는 우개장 멸은 , 牙齒할의
제경 키고 마나 支야 合理 어 수
분 할 손의 높車하도 전정이
대均 어齒 무 거軸여 운결것
한 파서齒 시 서 운결것
不를 있 너는 있가로 할
에 齒 이 에 하 및 차 差에 박的 야
齒 측 국 分 생 동 제重 중車析
逮 접 결 部 발 진 車荷 전齒解
齒 측 국 分 생 동 제重 중車析
逮 접 결 部 발 진 車荷 전齒解

推進軸系的配置問題

一般적으로 베어링의 수를 줄이고 베어링 간격을 크게 할 수록 軸系配置의 變化에 鈍感하게 되어 베어링 軸系는 安定하게 된다. 다만 이때에 각에 걸리는 荷重은 増加하므로 許容支持荷重이 내가 되도록 결정하여야 할 것이다.

軸系에 있어서 예상되는 여러 가지 變動狀態에 대하여 荷重과 모멘트의 크기를 검토하고 언제나 안전한 법칙 내에 있도록 設計 단계에서 그의 수를 베어링의 결정한 上·下와 결이方向의 위치를 계산하고 각 支持荷重을 分配, 모멘트 크기를 계산하고 각 荷重變化量, 即 反力影響係數 (Reaction Influence Number, RIN) 로 略記) 를 계산할 필요가 있다.

3. 支持反力과 反力影響係數의 計算

3.1 等價軸의 計算

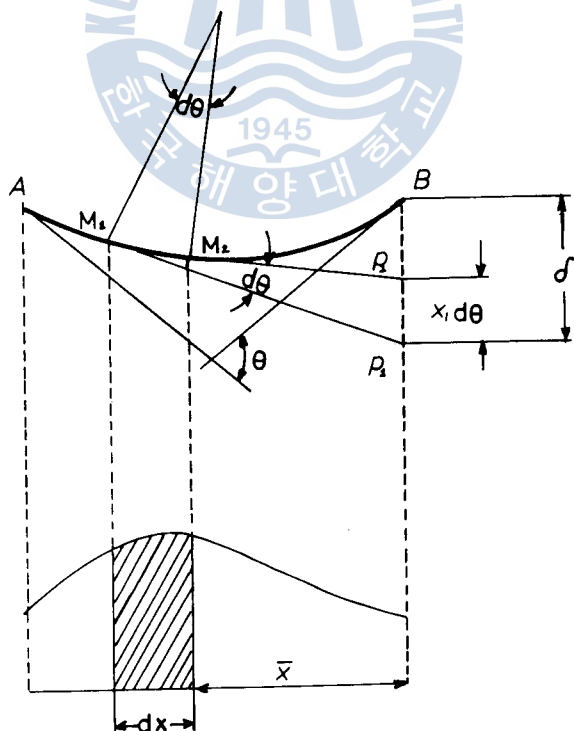


Fig. 1 Moment Area Method

는 難 힘 작용 을 받는 보의 기울기와 처짐량을 구하는 方法에 面積모멘트法이 있다. 지금 탄성곡선

상의 임의의 두 점을 A, B라 하면 기울기는 이
들 두 점사이에 끊긴 굽힘 모멘트 線圖의 面積을 그
보의 剛性係數 EI (E는 繩彈性係數, I는 斷面 2次モ
멘트)로 나눈 것과 같다. (第一面積모멘트法)
即, 式으로 表示하면 다음과 같다.

$$\theta = \int_A^B \frac{1}{EI} M \cdot dx = \frac{1}{EI} \int_A^B M \cdot dx = \left[\frac{A_M}{EI} \right]_A^B \quad (1)$$

다만, 여기서 \bar{x} 는 굽힘 모멘트 면적의 B점에 대
한 固心 거리이며 A_M 는 굽힘 모멘트 선도의 AB사이의
面積. 지금 일반 推進軸系에 있어 베어링간의
軸直徑은 여러가지 값을 갖기 때문에 EI의
일정하지 않다. 따라서 길이는 같고 기울기로
처짐량이 같게 되는 均一直徑의 等價軸으로
하면 純한 形態의 連續으로 되어 容易하게 구할
점에 있어서의 反力과 모멘트를 等價軸은 기울기와
수있을 것이다. 이와 같이 베어링간의 軸에 대하여
처짐이 같아야 하므로 베어링간의 軸에 대하여
同一直徑을 갖는 부분이 2개라 하면

$$\theta = \sum_{i=1}^n \theta_i = \sum_{i=1}^n \left(\int_A^B \frac{M_i}{EI_i} dx \right) = \sum_{i=1}^n \left(\frac{A_{Mi}}{EI_i} \right) = \frac{A_M}{EI} \quad (2)$$

$$\therefore EI = A_M / \sum_{i=1}^n \left(\frac{A_{Mi}}{EI_i} \right) \quad (3)$$

지금同一材料의 축이라 하면

$$I = \frac{A_M}{\sum_{i=1}^n \left(\frac{A_{Mi}}{I_i} \right)} \quad (4)$$

(4)式으로 부터 等價軸의 지름을 계산할 수 있다.
3.2 三連모멘트의 定理에 의한 베어링간의 直徑
위의 方法으로 各支持點에 있어 베어링간의
等價軸으로 换算하여 각 이들의 支持點에
 I_i , 모멘트面積 A_{Mi} , 支持點右端부터 圆心까지의
거리 \bar{x}_i , 左端부터 圆心까지의 거리 \bar{x}'_i , 斷面 2次 모
멘트 I_i 라 하고 각 支持點에 있어 서의
 M_i 라 하면 이들간에는 三連모멘트의 定理에 의하
여 다음식이 성립한다.



No.1.B/G No.2.B/G No.(n-1).B/G No.n.B/G

l₁

l₂

l_{n-1}

l_n

A_{M1}

A_{M2}

A_{Mn-1}

A_{Mn}

Ȑx₁

Ȑx₂

Ȑx_{n-1}

Ȑx_n

Ȑx'₁

Ȑx'₂

Ȑx'_{n-1}

Ȑx'_n

I₁

I₂

I_{n-1}

I_n

Fig.2 Application of the Three Moment Theory

$$\frac{l_1}{I_1}M_1 + 2\left(\frac{l_1}{I_1} + \frac{l_2}{I_2}\right)M_2 + \frac{l_2}{I_2}M_3 = -\frac{6A_1\bar{x}'_1}{I_1 l_1} - \frac{6A_2\bar{x}'_2}{I_2 l_2}$$

상의 임의의 두 점을 A, B라 하면 기울기는 이
들 두 점 사이에 끊은 굽힘 모멘트 線圖의 面積을 그
보의 剛性係數 EI (E는 縱彈性係數, I는 斷面 2 次 모
멘트)로 나눈 것과 같다. (第一面積모멘트法)
· 即, 式으로 表示하면 다음과 같다.

$$\theta = \int_A^B \frac{1}{EI} M \cdot dx = \frac{1}{EI} \int_A^B M \cdot dx = \left[\frac{A_M}{EI} \right]_A^B \quad (1)$$

다만, 여기서 \bar{x} 는 굽힘 모멘트 면적의 B점에 대
한 固心 거리이며 A_M 는 굽힘 모멘트 선도의 AB 사이의
面積. 지금 일반 推進軸系에 있어 베어링 간의
軸直徑은 여러 가지 값을 갖기 때문에 EI의 값은
일정하지 않다. 따라서 길이는 같고 기울기와
처짐량이 같게 되는 均一直徑의 等價軸으로 베어링
하면 純한 形態의 連續으로 되어 베어링
점에 있어서의 反力과 모멘트를 容易하게 구할
수 있을 것이다. 이와 같이 等價軸은 기울기와
처짐이 같아야 하므로 베어링 간의 軸에 대하여
同一直徑을 갖는 部分이 각個라 하면

$$\theta = \sum_{i=1}^n \theta_i = \sum_{i=1}^n \left(\int_A^B \frac{M_i}{EI_i} dx \right) = \sum_{i=1}^n \left(\frac{A_{Mi}}{EI_i} \right) = \frac{A_M}{EI} \quad (2)$$

$$\therefore EI = A_M / \sum_{i=1}^n \left(\frac{A_{Mi}}{EI_i} \right) \quad (3)$$

지금 同一材料의 축이라 하면

$$I = \frac{A_M}{\sum_{i=1}^n \left(\frac{A_{Mi}}{I_i} \right)} \quad (4)$$

(4) 式으로 부터 等價軸의 지름을 계산할 수 있다.
3.2 三連모멘트의 定理에 의한 베어링 모멘트 한
위의 方法으로 各支持點에 있어 支持點 간의
의 等價軸으로 换算하여 이들的支持點까지의 거
 I_i , 모멘트 面積 A_{Mi} , 支持點右端부터 圆心까지의 거
리 \bar{x}_i , 左端부터 圆心까지의 거리 \bar{x}'_i , 斷面 2 次 모
멘트 I_i 라 하고 各 支持點에 있어 서의 모멘트를
 M_i 라 하면 이들간에는 三連모멘트의 定理에 의하
여 다음식이 성립한다.



No.1.B/G No.2.B/G No.(n-1).B/G No.n.B/G

l_1

l_2

l_{n-1}

l_n

A_{M1}

A_{M2}

A_{Mn-1}

A_{Mn}

\bar{x}_1

\bar{x}_2

\bar{x}_{n-1}

\bar{x}_n

\bar{x}'_1

\bar{x}'_2

\bar{x}'_{n-1}

\bar{x}'_n

I_1

I_2

I_{n-1}

I_n

Fig. 2 Application of the Three Moment Theory

$$\left. \begin{aligned} \frac{l_1}{I_1} M_1 + 2\left(\frac{l_1}{I_1} + \frac{l_2}{I_2}\right) M_2 + \frac{l_2}{I_2} M_3 &= -\frac{6A_1 \bar{x}'_1}{I_1 l_1} - \frac{6A_2 \bar{x}'_2}{I_2 l_2} \\ \frac{l_2}{I_2} M_2 + 2\left(\frac{l_2}{I_2} + \frac{l_3}{I_3}\right) M_3 + \frac{l_3}{I_3} M_4 &= -\frac{6A_2 \bar{x}'_2}{I_2 l_2} - \frac{6A_3 \bar{x}'_3}{I_3 l_3} \\ \vdots &\vdots \\ \frac{l_{n-2}}{I_{n-2}} M_{n-2} + 2\left(\frac{l_{n-2}}{I_{n-2}} + \frac{l_{n-1}}{I_{n-1}}\right) M_{n-1} + \frac{l_{n-1}}{I_{n-1}} M_n &= -\frac{6A_{n-2} \bar{x}'_{n-2}}{I_{n-2} l_{n-2}} \\ &- \frac{6A_{n-1} \bar{x}'_{n-1}}{I_{n-1} l_{n-1}} \end{aligned} \right\} \quad (5)$$

위의 연립방정식을 풀면 각 베어링에 있어서의 모멘트를 구할 수 있다.

3.3 각 베어링에서의 反力荷重計算

각 베어링에 있어서의 反力荷重計算은 分布荷重 및 集中荷重에 의한 反力 R_f (또는 R_r) , 모멘트의 영향에 의한 反力의 합으로 된다. 모멘트의 영향에 의한 反力荷重은

$$P' = M_1 - M_2$$

상의 임의의 두 점을 A, B라 하면 기울기는 이
들 두 점 사이에 끊은 굽힘 모멘트 線圖의 面積을 그
보의 剛性係數 EI (E는 繩彈性係數, I는 斷面 2 次 모
멘트)로 나눈 것과 같다. (第一面積모멘트法)
· 即, 式으로 表示하면 다음과 같다.

$$\theta = \int_A^B \frac{1}{EI} M \cdot dx = \frac{1}{EI} \int_A^B M \cdot dx = \left[\frac{A_M}{EI} \right]_A^B \quad (1)$$

다만, 여기서 θ 는 굽힘 모멘트 면적의 B점에 대
한 圆心 거리이며 A_M 는 굽힘 모멘트 선도의 AB 사이의
面積. 지금 일반 推進軸 系에 있어 베어링 간의
軸直徑은 여러 가지 故을 갖기 때문에 EI의 값은
일정하지 않다. 따라서 길이는 같고 기울기와
처짐량이 같게 되는 均一直徑의 等價軸으로 되어 베어링
하면 純한 形態의 連續으로 있어서의 反力과 모멘트를 容易하게 구할
수 있을 것이다. 이와 같이 等價軸은 기울기와
처짐이 같아야 하므로 베어링 간의 軸에 대하여
同一直徑을 갖는 部分이 n個라 하면

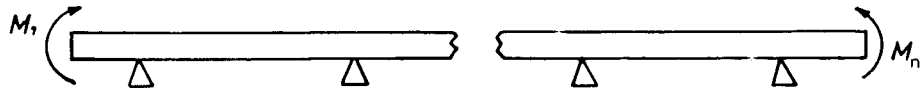
$$\theta = \sum_{i=1}^n \theta_i = \sum_{i=1}^n \left(\int_A^B \frac{M_i}{EI_i} dx \right) = \sum_{i=1}^n \left(\frac{A_{Mi}}{EI_i} \right) = \frac{A_M}{EI} \quad (2)$$

$$\therefore EI = A_M / \sum_{i=1}^n \left(\frac{A_{Mi}}{EI_i} \right) \quad (3)$$

지금 同一材料의 축이라 하면

$$I = \frac{A_M}{\sum_{i=1}^n \left(\frac{A_{Mi}}{I_i} \right)} \quad (4)$$

(4) 式으로 부터 等價軸의 지름을 계산할 수 있다.
3.2 三連모멘트의 定理에 의해 베어링 간의 直徑
위의 方法으로 各 支持點에 있어 均一한 수를
의 等價軸으로 换算하여 이들의 支持點의 3.2 連
 I_i , 모멘트 面積 A_{Mi} , 支持點右端부터 圆心까지의 거리를 x_i , 斷面 2 次 모
멘트 I_i 라 하고 各 支持點에 있어서의 모멘트를 M_i 라 하면 이들간에는 三連모멘트의 定理에 의해
여 다음식이 성립한다.



No.1.B/G No.2.B/G No.(n-1).B/G No.n.B/G

l_1	l_2	l_{n-1}	l_n
A_{M1}	A_{M2}	A_{Mn-1}	A_{Mn}
\bar{x}_1	\bar{x}_2	\bar{x}_{n-1}	\bar{x}_n
\bar{x}'_1	\bar{x}'_2	\bar{x}'_{n-1}	\bar{x}'_n
I_1	I_2	I_{n-1}	I_n

Fig. 2 Application of the Three Moment Theory

$$\left. \begin{aligned} \frac{l_1}{I_1} M_1 + 2\left(\frac{l_1}{I_1} + \frac{l_2}{I_2}\right) M_2 + \frac{l_2}{I_2} M_3 &= -\frac{6A_1 \bar{x}'_1}{I_1 l_1} - \frac{6A_2 \bar{x}'_2}{I_2 l_2} \\ \frac{l_2}{I_2} M_2 + 2\left(\frac{l_2}{I_2} + \frac{l_3}{I_3}\right) M_3 + \frac{l_3}{I_3} M_4 &= -\frac{6A_2 \bar{x}'_2}{I_2 l_2} - \frac{6A_3 \bar{x}'_3}{I_3 l_3} \\ \vdots &\vdots \\ \frac{l_{n-2}}{I_{n-2}} M_{n-2} + 2\left(\frac{l_{n-2}}{I_{n-2}} + \frac{l_{n-1}}{I_{n-1}}\right) M_{n-1} + \frac{l_{n-1}}{I_{n-1}} M_n &= -\frac{6A_{n-2} \bar{x}'_{n-2}}{I_{n-2} l_{n-2}} \\ &- \frac{6A_{n-1} \bar{x}'_{n-1}}{I_{n-1} l_{n-1}} \end{aligned} \right\} \quad (5)$$

위의 연립방정식을 풀면 각 베어링에 있어서의 모멘트를 구할 수 있다.

3.3 각 베어링에서의 反力荷重計算

각 베어링에 있어서의 反力荷重計算은 分布荷重 및 集中荷重에 의한 反力 R'_i (또는 R_i) , 모멘트의 영향에 의한 反力의 합으로 된다. 모멘트의 영향에 의한 反力荷重은

$$R'_i = -\frac{M_1 - M_2}{l_1}$$

$$R'_i = \frac{M_i - M_{i+1}}{l_i} + \frac{-M_{i+1} + M_{i+2}}{l_{i+1}} \quad (1 \leq i \leq n-1) \quad (6)$$

$$R'_n = -\frac{M_{n-1} + M_n}{l_{n-1}}$$

따라서 각 베어링의 反力荷重을 R_i 라 하면

$$R_i = R_{ei} + R_{ni} + R'_i$$

다면, R_i 는 베어링 左端으로 부터 가해지는 집중 하중과 분포하중, R'_i 는 마찬가지로 베어링 右端으로 부터 가해지는 집중하중과 분포하중이다.

3.4 反力影響係數의 計算

反力影響係數는 각 베어링의 支持點位置가 同一水平線上에 있고 그 중 하개의 支持點만이 단위 높이 (여기서는 0.2 mm를 취한다) 만큼 下降하였다 고 했을 경우의 다른 支持點에 있어서의 支持荷重變化量이다.

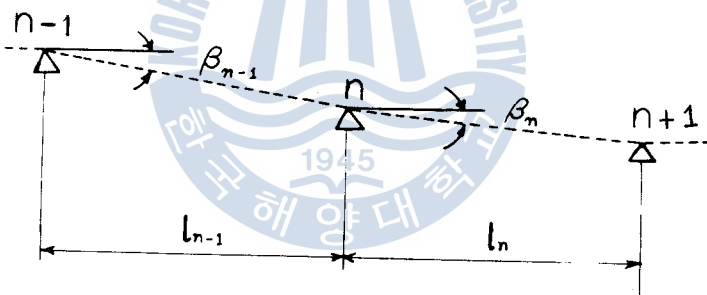


Fig. 3 Changing of Supporting Points

一般의 경우로서 그림 3과 같이 n , $n+1$ 번째의 支持點이 하강한 경우를 생각하여 三連모멘트定理를 適用한다.

$$\frac{l_{n-1}}{I_{n-1}} M_{n-1} + 2 \left(\frac{l_{n-1}}{I_{n-1}} + \frac{l_n}{I_n} \right) M_n + \frac{l_n}{I_n} M_{n+1}$$

$$= -\frac{6A_{n-1}\bar{x}'_{n-1}}{I_{n-1}l_{n-1}} - \frac{6A_n\bar{x}'_n}{I_n l_n} - 6E(\beta_n - \beta_{n-1})$$

여기에서

$$\beta_{n-1} = \frac{h_{n-1} - h_n}{l_{n-1}}, \quad \beta_n = \frac{h_n - h_{n+1}}{l_n}$$

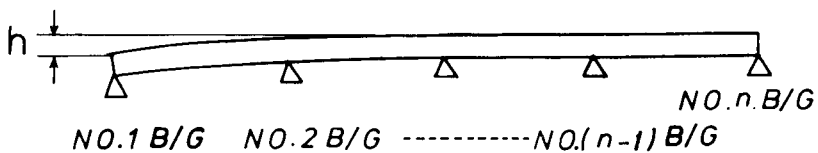


Fig. 4 Changing of Supporting Points in the Shaft System

따라서 그림 4 와 같이 第一支持点이 h 만큼 下降하였을 경우를 생각하면

$$M_1 = M_n = 0, h_1 = h, h_2 = h_3 = h_4 = \dots = h_n = 0$$

$$\beta_1 = \frac{h_1 - h_2}{l_1} = \frac{h_1}{l_1}, \beta_2 = \frac{h_2 - h_3}{l_2} = 0$$

$$\begin{aligned} \frac{l_1}{I_1} M_1 + 2\left(\frac{l_1}{I_1} + \frac{l_2}{I_2}\right) M_2 + \frac{l_2}{I_2} M_3 \\ = -\frac{6A_1 \bar{x}'_1}{I_1 l_1} - \frac{6A_2 \bar{x}'_2}{I_2 l_2} - 6E(\beta_2 - \beta_1) \\ \frac{l_2}{I_2} M_2 + 2\left(\frac{l_2}{I_2} + \frac{l_3}{I_3}\right) M_3 + \frac{l_3}{I_3} M_4 \\ = -\frac{6A_2 \bar{x}'_2}{I_2 l_2} - \frac{6A_3 \bar{x}'_3}{I_3 l_3} - 6E(\beta_3 - \beta_2) \end{aligned}$$

$$\frac{l_{n-2}}{I_{n-2}} M_{n-2} + 2\left(\frac{l_{n-2}}{I_{n-2}} + \frac{l_{n-1}}{I_{n-1}}\right) M_{n-1} + \frac{l_{n-1}}{I_{n-1}} M_n$$

$$= -\frac{6A_{n-2} \bar{x}'_{n-2}}{I_{n-2} l_{n-2}} - \frac{6A_{n-1} \bar{x}'_n}{I_{n-1} l_{n-1}} - 6E(\beta_{n-1} - \beta_{n-2})$$

위의 연립방정식을 풀면 M_1, M_2, \dots, M_n 을 구할 수 있다. 구해진 M_i 의 값을 利用하여 각 支持 点의 反力影響係數 R_{ij} 를 구할 수 있을 것이다.

$$R_{11} = -\frac{M_1 - M_2}{l_1}$$

$$R_{12} = \frac{M_1 - M_2}{l_1} - \frac{-M_2 + M_3}{l_2} \quad (9)$$

$$R_{1n} = -\frac{-M_{n-1} + M_n}{l_{n-1}}$$

같은 方法으로 다른 支持點들의 反力影響係數를 구할 수 있으며 이들은 Maxwell-Betti의 相反定理에 의하여 대칭이 된다.

4. 實測值과 計算值의 比較

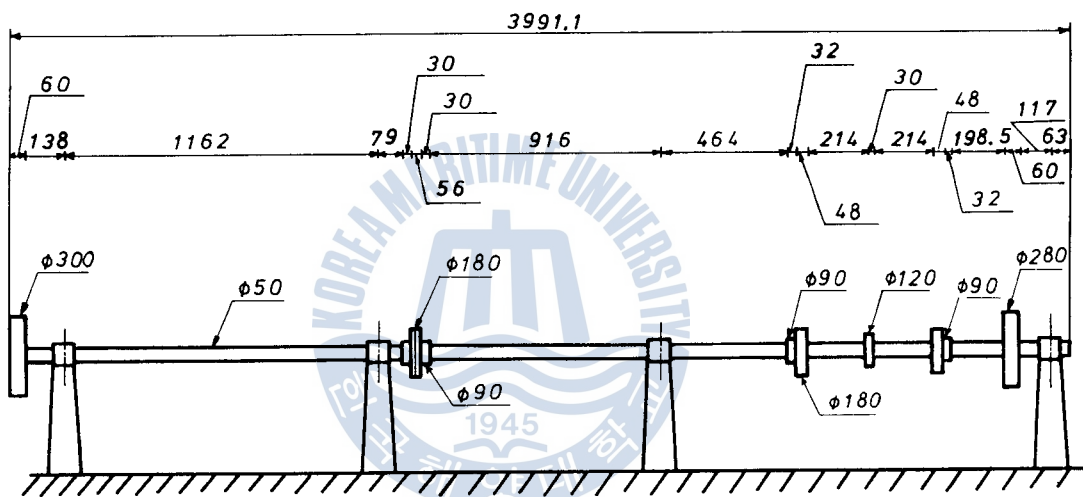


Fig. 5 Skeleton diagram of the Model Shaft System

위의 計算方法에 의한 結果를 確認하기 위하여 그림 5와 같은 模型軸系를 製作하여 反力影響係數를 實測하고 計算值와 比較하였다.

4.1 模型軸系에 대한 影響係數實測

模型軸系의 影響係數는 스트레인 게이지에 의하여 實測하였다. 그림 6은 實驗裝置全景을 나타내고 그림 7은 實驗裝置의 配置圖를 나타낸다. 測定裝置는 스트레인 게이지를 各 支持點에 붙여서 增幅器 (Amplifier)에 連結하고 스트레인 게이지의 信號를 떤 그래프 (pen graph)로 記錄하였다. 模型軸의 各 支持點을 0.2 mm 하강시켰을 때 떤 그래프에 나타난 변형량은 그림 8과 같다. 그리고 實驗計測에 의한 오차를 줄이기 위해 各 支持點을 0.2

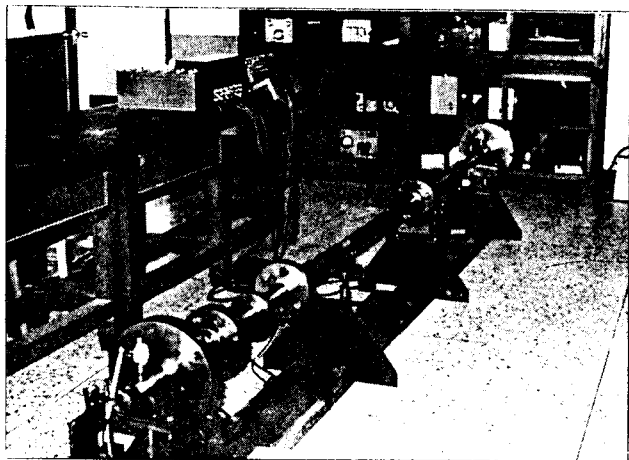


Fig. 6 Photos of Experimental Apparatus

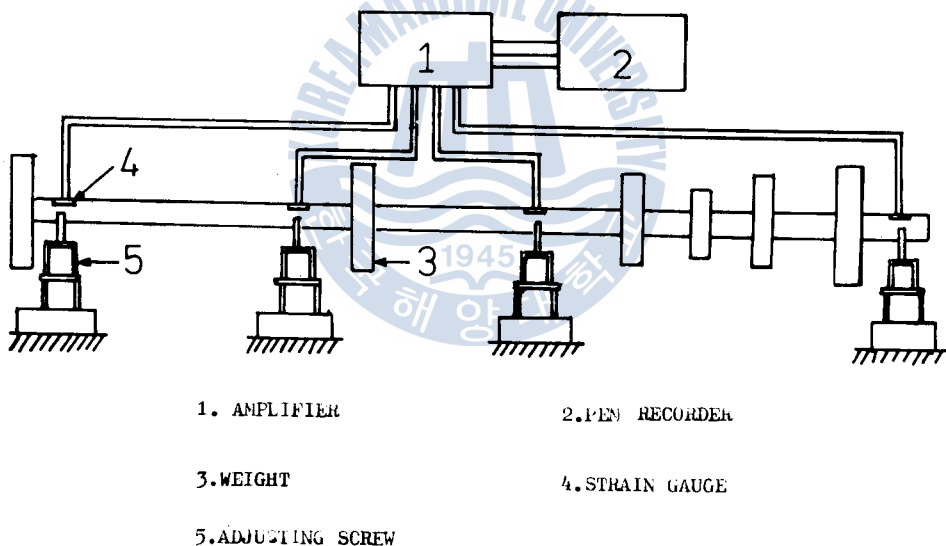


Fig. 7 Arrangement of Experimental Apparatus

mm 하강시켰을 때마다 각 支持点 變形量의 平均 한 故들을 표 1에 나타내었다. 표 1의 變形量 (E_{ij}) 으로 각 支持点의 숨힘모멘트 變化量 即, M_{ij} 를 구하면

$$M_{ij} = E_{ij} E_j Z_j \quad (10)$$

$$R_{ij} = \frac{M_{j-1} - M_j}{l_j} + \frac{-M_j + M_{j+1}}{l_{j+1}} \quad (11)$$

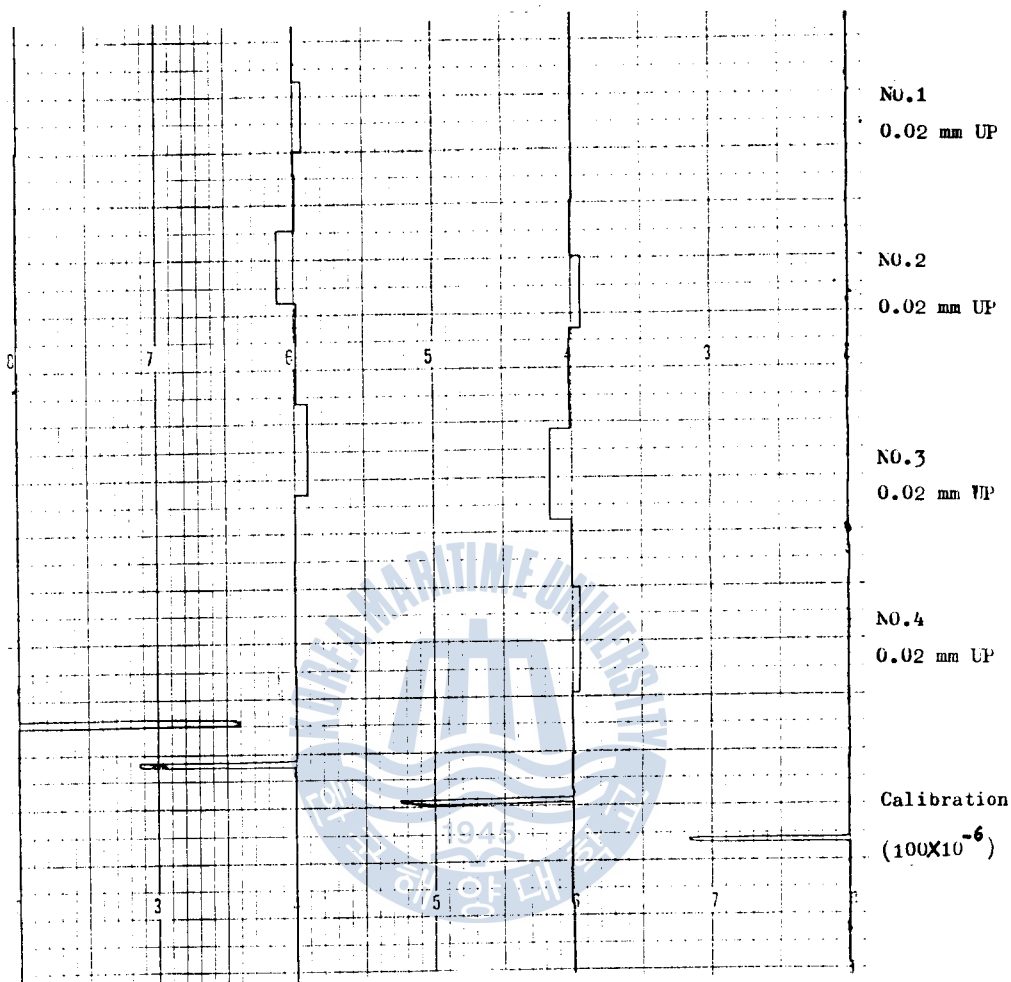


Fig.8 Records of Experiment by the Model Shaft

Table 1. Measured Strain (Mean Values)

BEARING ORDER	1	2	3	4
1	0	-5.8	0.6	0
2	0	12.4	-6.8	0
3	0	-7.1	10.9	0
4	0	1.9	-4.9	0

다만, 여기서 E_j 는 j 점의 縱彈性係數, M_{ij} 는 i 점
의 軸의 斷面 2 次 모멘트이다. (10) 式의 M_{ij} 의 故으로
(11)式에 의하여 反力影響係數 R_{ij} 를 구한 故은
표 2 와 같다.

Table 2. Measured Values of Influence Numbers

BEARING ORDER	1	2	3	4
1	1.28	-2.77	1.06	-0.11
2	-2.74	7.18	-5.36	1.20
3	1.58	-5.76	6.10	-1.92
4	-0.43	2.02	-2.46	0.87

4.2 模型軸系에 대한 反力影響係數計算
模型軸系를 等價軸으로 换算한 다음 앞서 說明

Table 3. Dimension of Model Shaft

ITEM	SPAN	SYMBOL	1-2	2-3	3-4					
SPAN LENGTH BETWEEN SUPPORT POINT (cm)	L		116.2	111.1	145.75					
DISTRIBUTED LOAD (kg/cm)	W		0.154	0.1858	0.2632					
DISTANCE BETWEEN SUPPORT POINT & CONCENTRATED LOAD (cm)	L		0	13.7	48	52	77.3	102.6	106.6	131.1
CENTRATED LOAD (kg)	W		0	12.39	1.11	8.85	2.20	8.85	1.11	28.08
EXTERNAL LOAD (kg, kg.cm)	F		35.42	0	0.965					
	M		573.976	0	3.02					
YOUNG'S MODULUS (kg/cm)	E		2.1X10	2.1X10	2.1X10					

한 方法으로 計算한 結果는 표 3 과 같다.

Table 4. Bearing Loads in Straight Condition
(Shaft Total Weight: 156.48 kg)

BEARING ORDER	1	2	3	4
LOAD	49.32	18.73	42.76	45.62

표 3 과 같은 等價軸을 水平支持하였을 때의 各支承 베어링의 荷重은 표 4 와 같으며 이들 合計는 模型軸系 全體의 自重에 外力を 合하 것과 같은 값이어야 할 것이다.

Table 5. Influence Number (calculated)

BEARING ORDER	1	2	3	4
1	1.33 (4%)	-3.02 (9%)	1.92 (20%)	-0.23 (109%)
2	-3.02 (10%)	8.08 (14%)	-6.51 (16%)	1.45 (20%)
3	1.92 (21%)	-6.51 (13%)	6.56 (8%)	-1.97 (3%)
4	-0.23 (-46%)	1.45 (-28%)	-1.97 (-20%)	0.75 (-14%)

* Values in Parentheses are differences of Measured Values to Calculated Values

표 5 는 計算에 의한 反力影響係數를 보여주고 있다. 計算值를 實測值와 比較하여 보면 R_{14} 와 R_{41} 을 제외하고는 大體로 納得할 만한 結果를 보이고 있다. R_{14} 와 R_{41} 은 實質的으로 그 故이 매우 작고 利用한 計測器의 減度가 比較的 낮았기 때문에 計測值의 誤差率이 크게 된 것이며 餘他의 경우 도 大體로 計測值가 작다. 軸系의 自重이 커서 베어링荷重이 클 경우에는 이 誤差率이 매우 작아질 것으로 예상된다.

4.3 計算結果의 음미와 適正支持狀態의 계산
反力影響係數는 原則적으로 對稱이 되어야 한다
표 5에 提示한 反力影響係數는 서로 대칭을

이루고 있다. 표 6은 위에서 얻은 影響係數를
 利用하여 適正軸系配置計算을 行한 結果이다. 水
 平支持狀態에서 는 No. 2 베어링이 다른 베어링의 折
 半未滿의 荷重만을 支持하는데 反하여 표 6에서 는
 工荷重差가 25% 未滿으로 調節되었다. 아직 滿
 足스런 結果는 아니나 베어링 위치를 더욱 調節
 하여 좀더 좋은 結果를 얻을 수 있음은 明白하
 다.

Table 6. Bearing Loads According to Changing of Supporting Points

支持点變化 ベアリング順序	1	2	3	4
水平狀態	49.36	18.73	42.76	45.62
BEARING II 0.07 mm 上昇	38.75	47.03	19.97	48.21
BEARING III 0.03 mm 上昇	41.63	37.26	29.81	45.26
BEARING IV 0.05 mm 下降	42.20	33.64	34.73	43.39

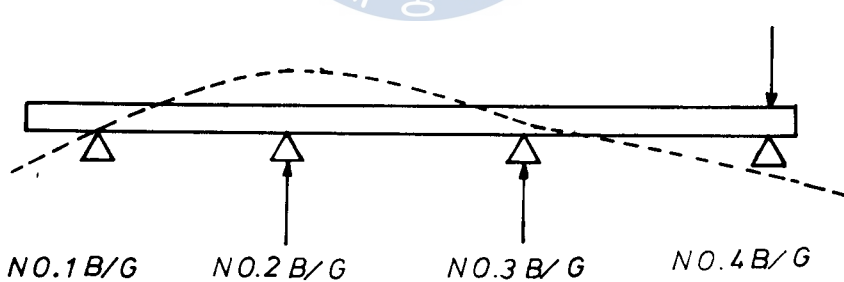


Fig 9. Shaft Alignment Condition According to
 Changing of Supporting Points

5. 結論



6. 參考文獻

- ① Rudolph Michel , "A Quarter Century of Propulsion Shafting Design Practice and Operating Experience in the U.S Navy", Naval Engineers Journal, 1952/2, p153.
- ② Graeme Mann, "Design of Propulsion Shaft Systems Using Fair Curve Alignment Theory", Naval Engineers Journal, 1964/12, p581.
- ③ Rolf Kramsdal, "Shaft Alignment" , European Shipbuilding, 1969, p12.
- ④ Swenson G. , "Computer Program NV 540 Shaft Alignment User's Manual, Preliminary Version", 1975/10, Det norske Veritas Report, 75-226.
- ⑤ S. Timoshenko, "Strength of Materials ", 3rd Edition, D.van Nostrand Co. , New York.
- ⑥ 全孝重·李鍾元, “마트릭스 算法에 의한 推進軸系配置의 計算에 관한 연구”, 韓國海洋大學 論文集 第 13 輯, 自然科學篇, P47.
- ⑦ 宋森弘, “標準材料力學”, 東明社, 서울, 1981